

高等农业院校試用教材

材料力学

下册

北京农业机械化学院編

农机类各专业用

农业出版社

高等农业院校試用教材

材 料 力 学

下 册

北京农业机械化学院編

(本书错误甚多)

农机类各专业用

农 业 出 版 社

高等农业院校試用教材
材料力学
下 册
北京农业机械化学院編
农 业 出 版 社 出 版
北京老錢局一號
(北京市书刊出版业营业許可證出字第106号)
新华书店上海发行所发行 各地新华书店經售
上海市印刷三厂印刷裝訂
統一書號 15144 • 300

1961年10月北京制型
开本 787×1092毫米
1961年10月初版
十六分之一
字数 225千字
1962年1月上海第二次印刷
印幅 十又八分之五
印数 6,271—8,770册
定价 (9) 一元

目 录

第十六章 复合抗力	3
§ 16.1 斜弯曲	3
§ 16.2 拉伸或压缩和弯曲的组合	9
§ 16.3 扭转和弯曲的组合	14
§ 16.4 螺旋圆柱形弹簧的计算	20
第十七章 曲梁	24
§ 17.1 曲梁的概念	24
§ 17.2 内力的计算	24
§ 17.3 应力的计算	25
§ 17.4 截面中性轴位置的确定	29
§ 17.5 曲梁的变形计算	34
§ 17.6 曲杆超静定问题	36
第十八章 刚架的分析	38
§ 18.1 概述	38
§ 18.2 刚架的分类及其性质的确定	41
§ 18.3 平面静定刚架的内力分析	44
§ 18.4 平面静定刚架的弹性变形	52
§ 18.5 空间静定刚架	55
§ 18.6 超静定刚架的解法	60
§ 18.7 力法解平面超静定刚架	62
§ 18.8 力法的简化——正对称及反对称	67
§ 18.9 力法解空间超静定刚架的例题	67
第十九章 压杆的稳定性	73
§ 19.1 基本概念	73
§ 19.2 临界压力 P_K 的确定	75
§ 19.3 压杆的约束对于临界压力的影响	77
§ 19.4 欧拉公式的应用范围及临界应力总图的作法	79
§ 19.5 压杆稳定的条件	80
§ 19.6 材料及截面形状的选择	82
§ 19.7 纵横弯曲	86
§ 19.8 作用有力偶及偏心的压杆	90
第二十章 动载荷	92

§ 20.1 基本概念	92
§ 20.2 构件作等加速直線运动时的应力計算	92
§ 20.3 构件作旋轉运动时的应力計算	93
§ 20.4 杆件复合运动时的应力計算	95
§ 20.5 振动时的应力計算	98
§ 20.6 构件质量对自由振动频率的影响	102
§ 20.7 冲击时的应力計算	104
§ 20.8 軸向冲击时变截面杆之内力及上面所得結果推出的实用結論	111
§ 20.9 被冲击系統质量的影响	113
§ 20.10 冲击物自身应力之計算	113
§ 20.11 冲击时材料机械性质的研究	115
§ 20.12 各种因数对冲击韌度的影响	116
第二十一章 交变应力下构件的强度計算	117
§ 21.1 基本概念	117
§ 21.2 在交变应力下构件疲劳破坏的現象及其破坏原因的假說	118
§ 21.3 交变应力及其循环特征	120
§ 21.4 对称循环持久极限的确定	122
§ 21.5 影响材料持久极限的主要原因	123
§ 21.6 非对称循环下的持久极限	129
§ 21.7 持久极限图的簡化	130
§ 21.8 交变应力下构件的强度校核	132
§ 21.9 构件在弯-扭組合交变应力下的强度計算	137
第二十二章 厚壁圓筒	142
第二十三章 强度計算的允許載荷法	150
§ 23.1 基本概念	150
§ 23.2 允許載荷法計算拉压杆系的問題	151
§ 23.3 关于梁的計算	154
附录	162
表 1 等肢角鋼	162
表 2 不等肢角鋼	164
表 3 工字鋼	166

第十六章 复合抗力

到目前为止，我們所研究过的杆件均为受力后产生简单变形形式的杆件。如产生伸长或缩短的拉杆或压杆；产生扭轉變形的軸和产生弯曲變形的梁等。实际上在大多数結構和机器上的零件，在受力后往往要产生两种或两种以上的变形形式；如一般傳動軸，在工作中不但产生扭轉變形，而同时也将有弯曲變形；并且有些零件看来外力的作用并不复杂，但是产生的变形形式却很复杂，如图 16.1 所示的車刀刀杆和犁头的犁柱等，在工作过程中，它们将同时产生伸长或缩短、弯曲和扭轉等变形。因此，它们的截面上也将产生轴向力、切力、扭矩、弯矩等各种形式的內力。我們对这些內力的組合，称为复合抗力。

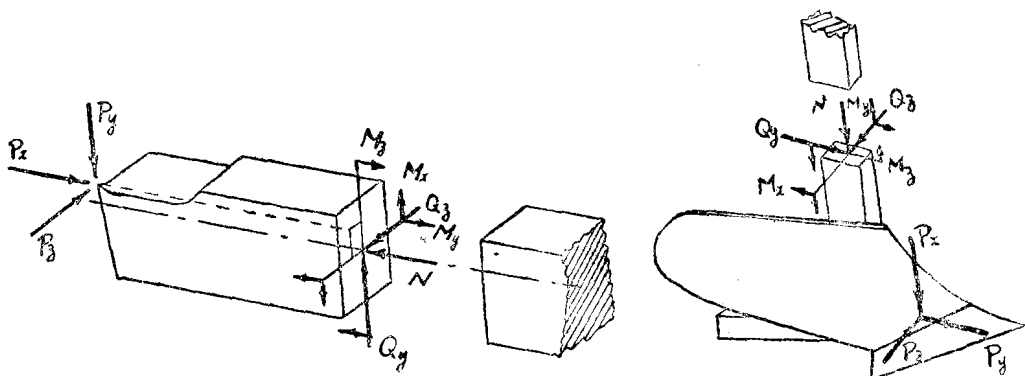


图 16.1

复合抗力是零件一般受力情况的問題。此种問題的强度計算和剛度計算，通常是利用力作用的迭加原理。这一原理的出发点，是假定彈性体在多个外力作用下，各力所引起的变形互不影响各力的作用結果。實驗證明，除某些情況外，在变形很小的情况下，这一假定可以在复合抗力的分析中进行广泛应用。这样，我們就可以把产生复杂变形形式的受力杆件，分析为几种单一变形形式的情况，运用前面我們所建立的結論分別进行分析計算，然后加以組合。

下面我們將分別研究几种典型情況的复合抗力問題。

§ 16.1 斜弯曲

关于梁的强度計算，我們已經研究了載荷作用在主軸平面內的弯曲問題，其正应力的計算是按照： $\delta = \frac{M_z \cdot z}{J}$ 的关系式进行的。現在若載荷并不通过梁的主軸平面，即梁的变形彈

性線并不在載荷作用平面內時，我們則沒有理由再来应用前面的結論。对于这种载荷不作用在主軸平面內的弯曲問題，我們称为斜弯曲。

斜弯曲在机器結構中存在相当普遍，如农业机械上应用得很多的角鋼，它們通常均是在斜弯曲的情况下工作的。图 16.2 是 x 个外力通过弯曲中心而与主軸成某一偏角 φ 的斜弯曲实例。

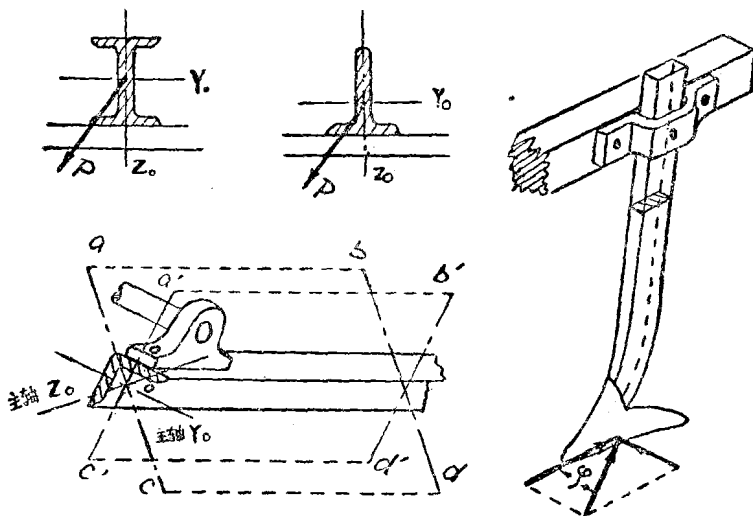


图 16.2

現在我們以矩形截面梁为例，說明斜弯曲問題的分析方法。

图 16.3 为一在自由端受一集中力 P 作用的悬臂梁，設力 P 的方向与主軸 z 之夹角为 φ 。現在我們将力 P 向主軸 y 和 z 进行分解为 P_y 和 P_z (图 16.3)，即

$$\left. \begin{array}{l} P_y = P \sin \varphi; \\ P_z = P \cos \varphi. \end{array} \right\} \quad (16.1)$$

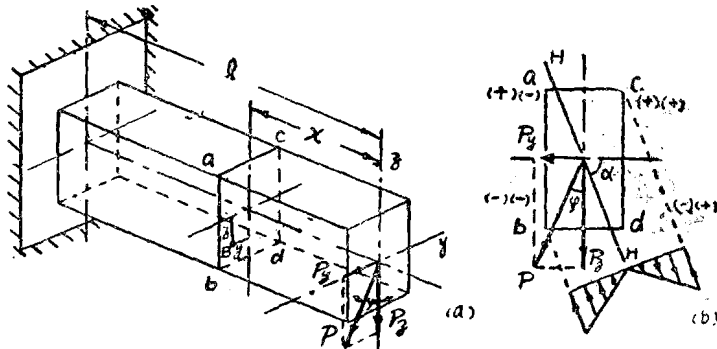


图 16.3

这样，斜弯曲便化成了两个平面弯曲的問題；从而也就提供了应用前面的結論解决斜弯曲問題的条件。根据迭加原理，我們即可以按照两个平面弯曲的情况分別計算出截面上同一点的应力，然后将其代数相加，求得該点的总应力。

現在取距自由端为 x 的任意截面(图16.3)，該截面上对主軸 y 和 z 的弯矩分別为：

$$M_y = P_z \cdot x = P \cos \varphi \cdot x;$$

$$M_z = P_y \cdot x = P \sin \varphi \cdot x.$$

若以 M 表示总的弯矩，即 $M = Px$ ，則

$$\left. \begin{array}{l} M_y = M \cos \varphi; \\ M_z = M \sin \varphi. \end{array} \right\} \quad (16.2)$$

从图 16.3 可以看出，如果我們把力 P 的所在象限定为第 I 象限，则由于 M_y ，使 II, IV 象限受拉，I, III 象限受压；而由于 M_z ，则使 II, III 象限受拉，I, IV 象限受压，今分别以 (+) 表示拉 (-) 表示压(图 16.3 b)。这样，若計算第 I 象限某一点 $B(y, z)$ 的应力，则

$$\sigma = \frac{M_y \cdot z}{J_y} + \frac{M_z \cdot y}{J_z},$$

以式(16.2)代入，得

$$\sigma = M \left(\frac{z \cos \varphi}{J_y} + \frac{y \sin \varphi}{J_z} \right). \quad (16.3)$$

式(16.3)可用来計算截面 $abcd$ 上任意点的应力，不过应将該点之座标 y 和 z 代以 (+) 或 (-)。

我們若檢查强度，则需要求出最大应力。按照平面弯曲时的分析方法，最大应力点应当是在截面上距中性軸最远的地方，因此我們首先需要根据 $\sigma=0$ 的条件确定中性軸的位置。設 y_0 和 z_0 即为中性軸上任意点的座标，代入式 16.3 令其为 0，即

$$\sigma = M \left(\frac{z_0 \cos \varphi}{J_y} + \frac{y_0 \sin \varphi}{J_z} \right) = 0,$$

可得

$$\frac{z_0 \cos \varphi}{J_y} + \frac{y_0 \sin \varphi}{J_z} = 0. \quad (16.4)$$

显然，式(16.4)为一过原点的直線方程式，我們可用其斜率表示此直線的方位，即

$$\operatorname{tg} \alpha = - \frac{z_0}{y_0} = \operatorname{tg} \varphi \frac{J_y}{J_z}. \quad (16.5)$$

式 16.5 中之負号，乃表示中性軸上任意点的座标 y_0 或 z_0 ，其中总有一个为負值。这說明中性軸乃是通过原点而位于 II, IV 象限的一条直線(图 16.3)，角 α 即为中性軸 $H-H$ 和軸 y 的夹角。从式 16.5 可以看出，当 $J_y \neq J_z$ 时，即一般情况下， $\alpha \neq \varphi$ ，也就是中性軸并不与載荷方向互相垂直，这就是斜弯曲的一个重要特点。

在中性軸的位置确定以后，我們则可以通过做中性軸的平行綫，找到与截面边缘相切，

亦即距中性軸最远的最大应力点(图 16.3 和 16.4), 以該点的座标数值及符号代入式 16.3 即可求得截面上的最大应力, 从而进行强度検查。不过, 对于一般具有棱角的截面, 由于中性軸之平行綫与截面边缘的切点, 往往都是在其棱角处, 所以我們若求最大应力, 只需以棱角处的座标代入式 16.3 即可, 不必用上述方法找其最大应力点。

另外, 从式 16.3 可以看出距中性軸不同距离的各点的应力, 其变化規律与平面弯曲一样, 仍为綫性关系图(16.3 和 16.4), 中性軸仍是应力符号改变的分界綫。

以后为了分析应力方便起見, 应力的符号直接从觀察該点的变形而定: 拉为正, 压为负。如图 16.3 所示之梁, B 点应力为負值。

关于斜弯曲情况的变形分析, 仍然可以按照两个平面弯曲来进行。其总的变形結果: 即为两个平面弯曲变形的几何和。現在我們仍以图 16.3 所示矩形截面梁为例, 說明斜弯曲的变形分析方法和特点。

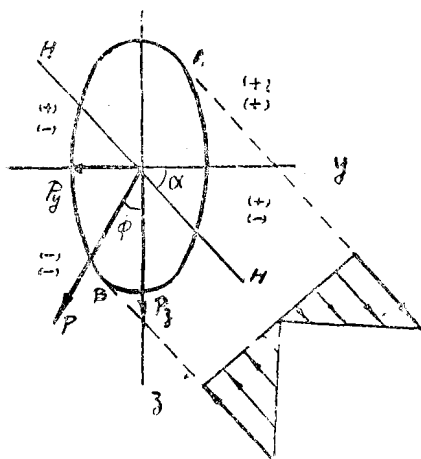


图 16.4

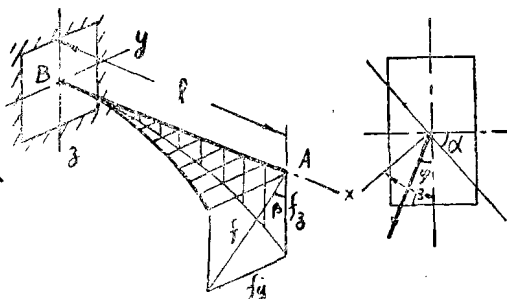


图 16.5

設梁自由端沿主軸 y 和 z 的撓度分別为 f_y 和 f_z (图16.5), 根据平面弯曲的計算結果, 可得

$$f_y = \frac{P_y l^3}{3EJ_z};$$

$$f_z = \frac{P_z l^3}{3EJ_y}.$$

以式 16.1 代入, 即

$$f_y = \frac{P \sin \varphi \cdot l^3}{3EJ_z};$$

$$f_z = \frac{P \cos \varphi \cdot l^3}{3EJ_y}.$$

現若以 f 表示梁自由端的总撓度，則

$$f = \sqrt{f_y^2 + f_z^2} \quad (16.6)$$

式 16.6 即為計算斜弯曲撓度的一般表示式。

对于斜弯曲的弯曲方向，我們可用总撓度 f 与 z 軸的夹角 β 来表示，不同位置的 f 所組成的平面，即梁軸變形彈性線所在的平面，称为弯曲平面，从图 16.5 可以看出，

$$\operatorname{tg} \beta = \frac{f_y}{f_z} = \frac{J_y \sin \varphi}{J_z \cos \varphi} = \operatorname{tg} \varphi \frac{J_y}{J_z}。 \quad (16.7)$$

比較式 16.5 和式 16.7，則其右端完全相同，即

$$\operatorname{tg} \alpha = \operatorname{tg} \beta$$

这里告訴我們：弯曲平面和主軸 z 所在平面之夹角 β 与中性軸和主軸 y 的夹角 α 相等，而皆与載荷方向同 z 軸之夹角 φ 不等。亦即弯曲平面并不在載荷平面內，这也是斜弯曲情况的一个特点。

現在我們再將式 16.5 和 16.7 研究一下，假如 $J_y = J_z$ 時，則

$$\alpha = \beta = \varphi。$$

此時即無論載荷作用在任何方向，皆為平面弯曲的情况。

另外當 $J_y \gg J_z$ 時，例如像图 16.6 所示的狹矩形截面，由式 16.7 可以看出，在角 φ 不大時，而角 β 則可能達到相當大的數值，此時梁將發生較大的側向變形（图 16.6）。這一問題對設計者來說必須有充分的認識和估價。下面我們用具體數字計算結果予以說明。

設图 16.6 所示矩形截面的高度 $h = 20\text{cm}$ ，寬度 $b = 6\text{cm}$ ，則
其慣矩 J_y 和 J_z 求得為

$$J_y = \frac{6 \times 20^3}{12} = 4000 \text{ cm}^4;$$

$$J_z = \frac{20 \times 6^3}{12} = 360 \text{ cm}^4。$$

其比值為

$$\frac{J_y}{J_z} = \frac{4000}{360} \approx 11。$$

若載荷 P 与 z 軸之偏角 $\varphi = 5^\circ$ ，則可以求得其弯曲平面的方向：

$$\operatorname{tg} \beta = \operatorname{tg} \varphi \frac{J_y}{J_z} = 0.0875 \times 11 = 0.963。$$

由式 16.7 則側向變形 f_y 为 $f_y = f_z \operatorname{tg} \beta = 0.963 f_z$ 。

此計算結果說明，雖然載荷僅離 z 軸 $5V$ ，而側向變形 f_y 几乎與 f_z 相等。因此對某些主慣矩值相差較大的截面，如高工字鋼和槽鋼以及扁鋼等，在它們為平面弯曲時雖然可以工作

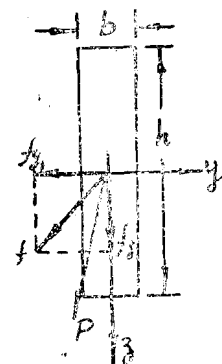


图 16.6

得很好，但在斜弯曲时将变得很不利。所以我們对具有这种截面的杆件，为了防止产生过分的側向变形，应当加入擡杆或其他联結裝置。

[例] 16.1 如图 16.7 所示，收割机上支承收割台的角鋼外伸梁。收割台对它的作用如图 16.7 所示的一段均布載荷 $q = 1 \text{ kg/cm}$ ，角鋼的規格为 $50 \times 50 \times 5 \text{ mm}$ 的等边角鋼，其他尺寸如图注，今計算其最大弯曲正应力(这里暫不考慮弯曲中心問題)。

[解]：如图 16.7 b 将均布載荷 q 分解至主軸 y 和 z 的方向，即化为两个平面弯曲問題計算。

按其結構形式，其最大弯矩必然在截面 B 处，因对称，其 M_y 和 M_z 之值相等，即

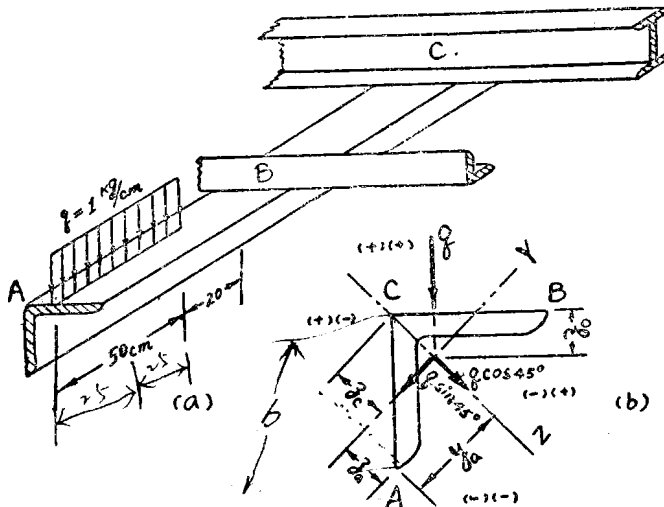


图 16.7

$$M_{y_{\max}} = q \cos 45^\circ \times 50 \times (20 + 25) = 1590 \text{ kg-cm} = M_{z_{\max}}$$

由 M_y 及 M_z 将在各象限引起拉应力和压应力(讀者参考图 16.7 b 自行分析)，因截面具有尖角，其最大应力可能发生在 A 点，那里应力具有相同的符号，且該点座标为最大。而 B 点虽然与 A 点位置相同，但其应力却具有相反的符号，故不可能有最大应力。

由图 16.7 b 可知：

$$z_C = \frac{z_0}{\cos 45^\circ} = 1.42 \times \sqrt{2} = 2 \text{ cm}, \text{ 則}$$

$$z_A = b \cdot \cos 45^\circ - z_C = 5 \times \frac{1}{\sqrt{2}} - 2 = 1.54 \text{ cm};$$

$$y_A = b \cdot \cos 45^\circ = 5 \times \frac{1}{\sqrt{2}} = 3.54 \text{ cm}.$$

根据 y_A 和 z_A 及 A 点的应力符号，可直接求得該点的应力为

$$\sigma_A = - \left(\frac{M_y \cdot z_A}{J_y} + \frac{M_z \cdot y_A}{J_z} \right)$$

$$= - \left(\frac{1590 \times 1.54}{4.61} + \frac{1590 \times 3.54}{17.8} \right) = -850 \text{ kg/cm}^2.$$

§ 16.2 拉伸或压缩和弯曲的组合

拉伸或压缩与弯曲的组合，也是常见的构件形式。如图 16.8 所示的犁辕，起重机架等皆属于这种变形形式的零件。下面我们分成两种情况来讨论：一种是拉伸（压缩）和剪切弯曲的组合情况，这种情况的特点是弯矩沿杆长不为常数；另一种则是拉伸（压缩）和纯弯曲的组合情况，此时弯矩沿杆长为常数，我们称此种情况为偏心拉伸（压缩）。不过，不论是前者和后者，我们这里都基于大刚度的条件来讨论；并且忽略剪切的作用。这样我们即只考虑截面上因弯矩和轴向力所产生的正应力，然后将它们分别计算出来进行迭加。

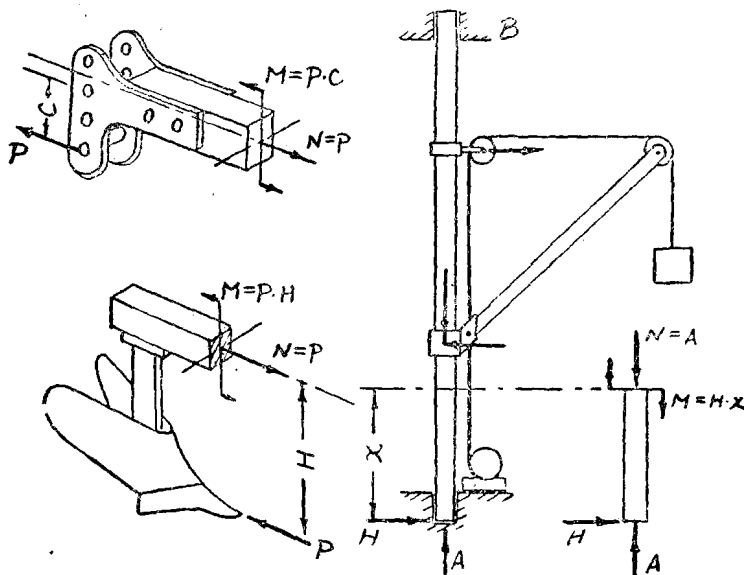


图 16.8

(一) 拉伸(压缩)和剪切弯曲的组合 如图 16.9 所示中耕机前导轮的支架，当导轮受到地面反作用力 P 的作用时，则调其调节手柄将如图(16.9 b)所示的受力情况。此时在 AB 段内将产生轴向力 $N=P_1$ 而 AB 和 BC 段内将产生弯矩，其最大弯矩 $M_{max}=P_2l$ 则是在 B 截面处。这样在 AB 段内即受到压缩和弯曲的联合作用。因此其截面上的正应力也将由两部分组成，即：

$$\sigma = \sigma_N + \sigma_M = -\frac{N}{F} \pm \frac{M}{W}.$$

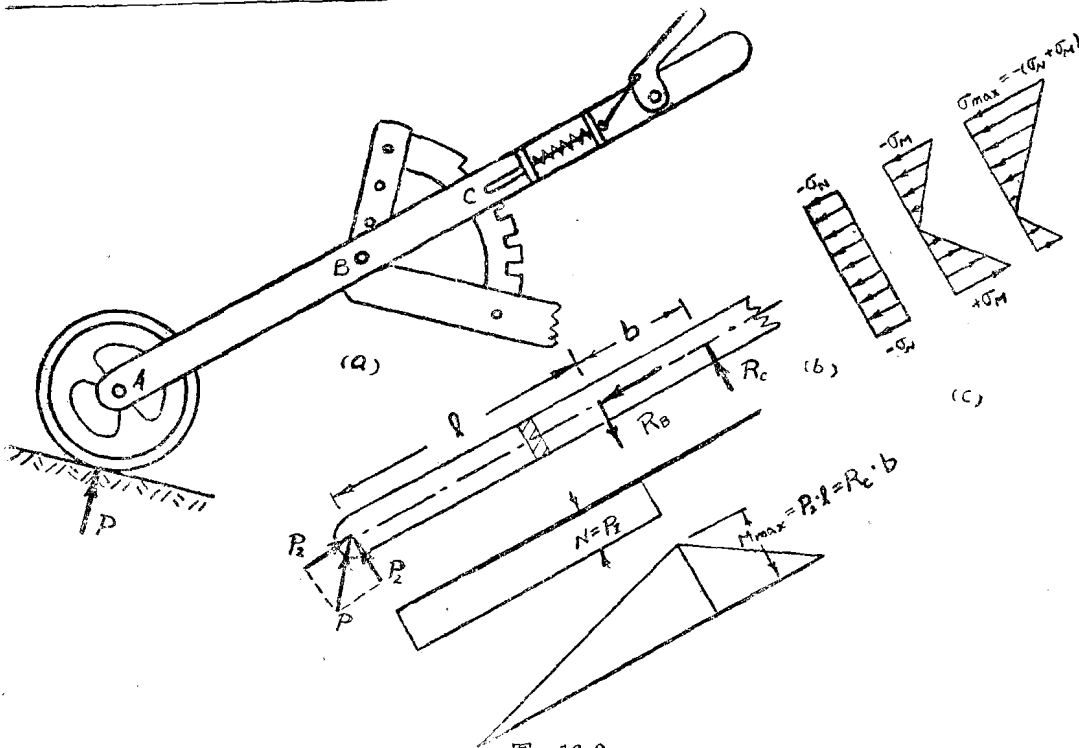


图 16.9

其应力沿截面高度的分布情况如图 16.9c,
最大应力应当是在 B 截面的上边缘处，因为这
里 σ_N 和 σ_M 具有相同的符号(皆为压应力)。

下面我們則以多鐮犁的牵引杆(图16.10a)
作为具体計算的实例。

图16.10 a 表示在拖拉机向右偏轉某一角
度 φ 进行牵引时，多鐮犁牵引杆的受力情况。

經過分析簡化以主拉杆 AC 为分离体(图
16.10 b)，設副拉杆 BD 对主拉杆 AC 之支撑
力为 B ，今将力 P 及 B 分别分解到 x 和 y 两个
方向，则

$$P_x = P \cdot \cos \varphi,$$

$$P_y = P \cdot \sin \varphi;$$

$$B_x = B \cdot \cos \theta,$$

$$B_y = B \cdot \sin \theta.$$

对 C 点求矩，得

$$B_y = P_y \frac{(a+b)}{b}$$

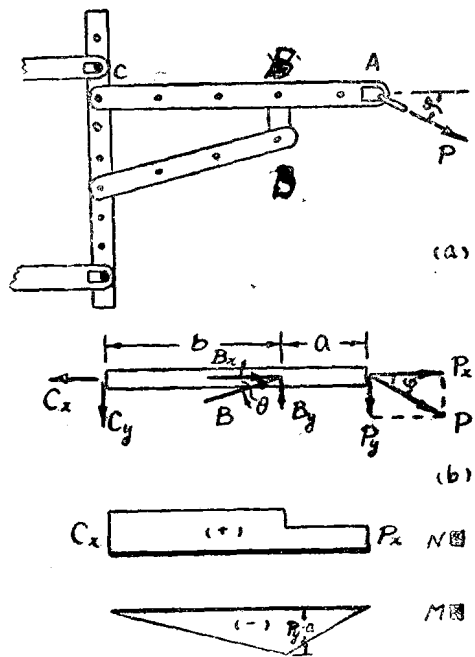


图 16.10

則

$$B_x = B_y \cdot \operatorname{ctg} \theta = P_y \frac{(a+b)}{b} \operatorname{ctg} \theta.$$

根据轴向力和弯矩沿 AC 杆长的变化情况, 可作出轴向力图 (16.10b 的 N 图) 和弯矩图 (16.10b 的 M 图)。从图中可以看出 B 截面为危险截面。该截面的轴向力和弯矩分别为

$$N_B = P_x + B_x$$

$$M_B = P_y \cdot a$$

其最大应力则为

$$\sigma_{\max} = \frac{N_B}{F} + \frac{M_B}{W}$$

即 $\sigma_{\max} = \frac{P_x + B_y}{F} + \frac{P_y \cdot a}{W} = P \left[\frac{\cos \varphi + \sin \varphi \frac{(a+b)}{b} \operatorname{ctg} \theta}{F} + \frac{a \sin \varphi}{W} \right]$

这里取正号, 乃表示最大应力为拉应力。

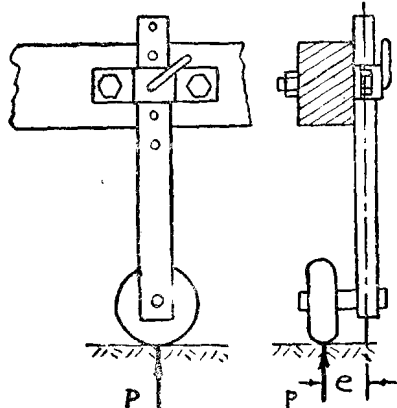


图 16.11

(二) 偏心拉伸或压缩 如图 16.11 所示农业机械的支重轮柱和图 16.8 所示的犁辕, 由于它们的外力作用线都与杆轴有一偏心距, 则此时杆件的内力将是一轴向力和一常值弯矩, 因此其强度检查可在杆件的任意截面进行。今以矩形截面杆为例说明偏心拉伸(压缩)的一般分析方法。

如图 16.12 所示拉杆, 今受到一对不通过杆轴作用的拉力 P 。设力 P

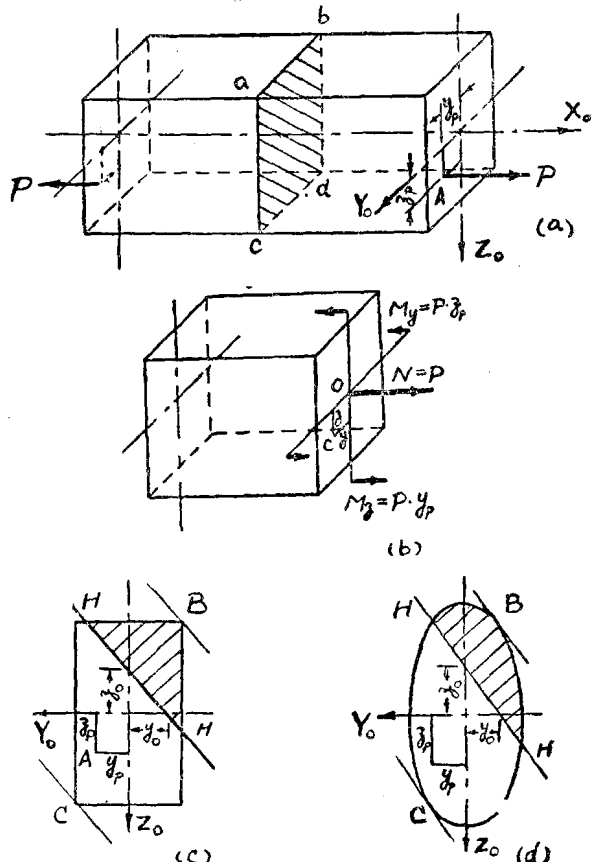


图 16.12

的作用点 A 在截面 y 和 z 軸的座标为 z_p 和 y_p , 根据平衡条件, 把力 P 对截面形心簡化, 則截面上的內力将表現为: 对 y 軸和 z 軸的两个力偶 M_y 及 M_z , 和沿杆軸 x 的軸向力 N 。它們的数值分別为:

$$M_y = P \cdot z_p;$$

$$M_z = P \cdot y_p;$$

$$N = P$$

此时截面上任意点的应力, 則将由三个內力分别求得应力的合成。其最大应力, 显然是在三个应力具有相同符号的象限內。今設此象限为第一象限, 即 A 点所在象限(图16.12a)。在此象限內任意点 $C(y, z)$ 的应力 σ_c 即为

$$\sigma_c = \frac{P}{F} + \frac{M_y \cdot z}{J_y} + \frac{M_z \cdot y}{J_z};$$

以 $M_y = P \cdot y_p$, $J_y = F \cdot i_y^2$, $J_z = F \cdot i_z^2$ 代入上式, 則

$$\sigma_c = \frac{P}{F} \left(1 + \frac{z_p \cdot z}{i_y^2} + \frac{y_p \cdot y}{i_z^2} \right) \quad (16.8)$$

至于其他象限各点的应力, 只須以該点的座标代入式 16.8 即可求得。因此式 16.8 乃为計算偏心拉伸(或压缩)截面上任意点应力的一般公式。

为了寻求最大应力, 往往还需要确定中性軸的位置, 然后找到截面上距中性軸最远的点, 以該点的座标代入式 16.8 計算。

根据中性軸上各点应力为零的特点, 設 z_0 和 y_0 即为中性軸上某点的坐标, 代入式 16.8, 并令 σ 为零, 則得到中性軸的方程式为

$$\begin{aligned} \sigma &= \frac{P}{F} \left(1 + \frac{y_p \cdot z_0}{i_y^2} + \frac{y_p \cdot y_0}{i_z^2} \right) = 0 \\ 1 + \frac{z_p \cdot z_0}{i_y^2} + \frac{y_p \cdot y_0}{i_z^2} &= 0 \end{aligned} \quad (16.9)$$

显然这是一条不过原点的直綫方程。也就是說中性軸乃是一条不过截面形心的直綫。因此要确定其在坐标軸上的截距。

由式(16.9),

設

$$z_0 = 0 \quad \text{得} \quad y_0 = -\frac{i_z^2}{y_p}; \quad (16.10)$$

設

$$y_0 = 0 \quad \text{得} \quad z_0 = -\frac{i_y^2}{z_p}. \quad (16.11)$$

这里的負号, 乃表示 y_0 与 y_p , z_0 与 z_p 是在相反的象限內。

今在坐标軸上截取 y_0 和 z_0 , 并連以直綫 HH , 即为中性軸(图16.12c 及 d)。中性軸乃是截面上应力符号的分界綫。在这里中性軸 HH 以外的阴影部分截面上的应力即为压应力。

作中性軸的平行綫，可找到與截面相切的B點及C點（圖16.12c及d）。該兩點即將有最大拉應力和壓應力；將其坐標代入式16.8則可求得它們的數值。

在偏心拉伸（或壓縮）的強度計算中，我們還應當提到一個關於截面性質的重要概念，即截面核心的概念。

對於某些用來承壓但抗拉強度較差的材料（如磚、石、混凝土等）工作時應避免截面上產生拉應力。這樣在偏心壓縮中，我們就應當考慮如何使截面上只有一種符號的應力，即壓應力。為了達到這一目的，可以通過控制加力點的位置來達到。

由式16.10及16.11可以看出，當P的作用點A的坐標 y_p 和 z_p 越小時，則中性軸之截矩 y_0 和 z_0 將愈大，也就是中性軸HH'將離開截面形心越遠。當 y_p 和 z_p 為某一數值時，而中性軸正好與截面的邊緣相切，那麼此時截面上即將只有一種符號的應力，亦即可以滿足上述的要求。根據中性軸與截面邊緣各點相切的條件，我們可以確定加力點在截面上相應的位置，由這些加力點所構成的一個區域，即稱為截面核心。

下面我們仍以矩形截面為例，來說明截面核心的確定方法。

如圖16.13所示矩形截面，當中性軸正好在HH'位置與截面相切時，則

$$z_0 = \frac{h}{2}; \quad y_0 = a.$$

再由 $I_y^2 = \frac{J_y}{F} = \frac{h^3}{12}$ 代入式16.10及16.11得

$$z_p = -\frac{h^3/12}{h/2} = -\frac{h}{6}; \quad y_p = 0.$$

同理，當中性軸位於HH''位置時，則

$$y_p = -\frac{b^3/12}{b/2} = -\frac{b}{6}; \quad z_p = 0.$$

這樣我們即可確定截面核心上的b點和a點（圖16.13）。

由於截面對稱，我們可用同樣方法找到截面核心的c點和d點（圖16.13）。

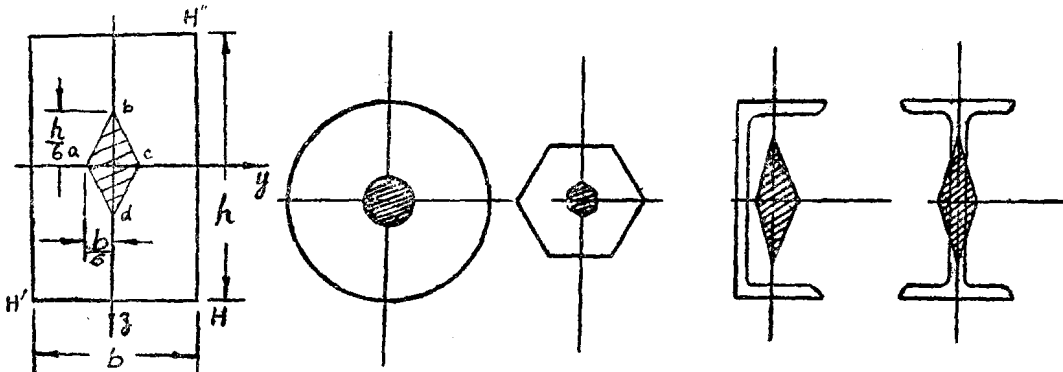
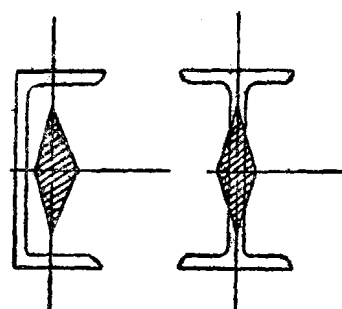


图 16.13

图 16.14



同时如果我們注意到中性軸在矩形的四个角处与截面的相切位置,乃是繞四个角点轉动,則相应于截面核心的各点应当沿直綫 ab, bc, cd, da 移动,因此对矩形截面来讲,其截面核心将是一个菱形(图16.3)。

其他如圓形、多邊形、槽形、工字形等截面核心皆可按上述方法确定,这里不再一一討論,仅繪其图形供讀者参考(图16.14)。

§ 16.3 扭轉和弯曲的組合

在第七章和第九章我們分別討論了扭轉和弯曲的强度問題,但是在机器結構中,我們經常遇到的却往往是这两者的組合。例如由皮帶輪、鏈輪或齒輪傳動的軸,它們在扭轉变形的同时,都还要产生弯曲变形。下面我們就以傳動軸为例,說明在这种情况下的强度計算方法。

如图 16.15 所示由鏈輪傳動的圓截面軸,設鏈輪 B 和 C 之半徑分别为 R_1 和 R_2 , 两鏈輪鏈條的紧边正好处在互相垂直的位置,其拉力分别为 T_1 和 T_2 (忽略松边拉力)。

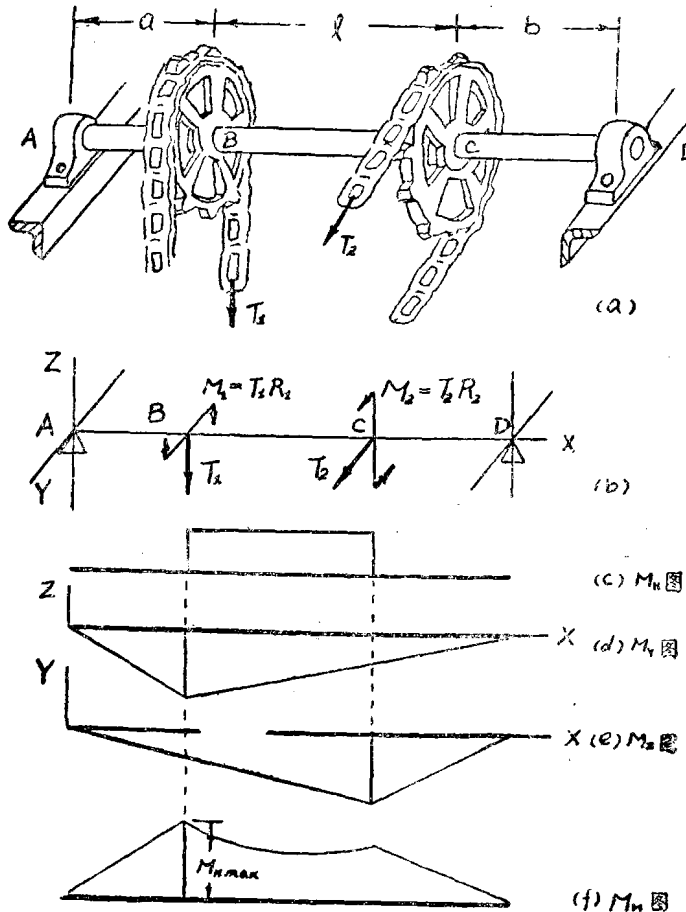


图 16.15